
„Pseudo Adjoints“

Time-parallel computation of pseudo-adjoints for
a leapfrog scheme

Vitaliy Pasyuga

Sommerschule'06: "Automatisches Differenzieren"
14.8.2006, Universitätskolleg Bommerholz

1. Motivation:

- Finite Differenzen, Leapfrog Schemata
- Shallow Water Modell-Gleichungen
- Transformation zu N-dimensionalen Zeit-abhängigen Systemen
- Kosten-Funktionen und Adjoints
- AD, Leapfrog-Schema und „Pseudo-Adjoints“

2. Theory:

- Parallele Berechnung von den dünnbesetzten „Timestep“-Jacobimatrizen
- Die Hoch-Niveau Adjungierte Rekursion:
 1. Leapfrog-Schema
 2. „One Step“-Schema
- Generalisierung des „Time-Stepping“ Operators
- Generalisierung der Kosten-Funktion

Finite Differenzen, Leapfrog Schemata:

Beispiel 1. ODEs:

Erste Ordnung: $x \in \mathbb{R}^1$; $\mathbf{y} = (y_1, \dots, y_n)$, $\mathbf{y} = \mathbf{y}(x)$.

$$\frac{d\mathbf{y}}{dx} = \mathbf{f}(\mathbf{y}, x).$$

Beispiel 2. ODEs:

Zweite Ordnung: $t \in \mathbb{R}^1$; $\mathbf{x} = (x_1, \dots, x_n)$, $\mathbf{x} = \mathbf{x}(t)$.

$$\frac{d^2\mathbf{x}}{dt^2} = \mathbf{f}\left(\mathbf{x}, \frac{d\mathbf{x}}{dt}, t\right).$$

Alle ODEs k -ter Ordnung können in ein System der ODEs erster Ordnung umgewandelt werden, dabei steigt die Dimension des Systems:

Beispiel 3. ODEs:

$$\frac{d^2\mathbf{x}}{dt^2} = f\left(x, \frac{dx}{dt}, t\right).$$

$$y_1 := x; y_2 := \frac{dx}{dt}.$$

$$\begin{cases} \frac{dy_1}{dt} = y_2 \\ \frac{dy_2}{dt} = f(y_1, y_2, t). \end{cases}$$

Finite Differenzen, Leapfrog Schemata:

Vorherige Behauptung kann auf PDGs umgesetzt werden:

PDGs k -ter Ordnung werden in ein System der ODEs erster Ordnung umgewandelt, dabei steigt die Dimension des Systems.

Beispiel 4. Finite Differenzen für die erste Ableitung:

$$u = u(x), h \ll 1.$$

Approximation der ersten Ordnung von h :

$$\frac{du}{dx}(x_0) \approx D_+ u(x_0) := \frac{u(x_0 + h) - u(x_0)}{h};$$
$$\frac{du}{dx}(x_0) \approx D_- u(x_0) := \frac{u(x_0) - u(x_0 - h)}{h}.$$

Approximation der zweiten Ordnung (zentrierte Differenzen, werden für Leapfrog benutzt):

$$\frac{du}{dx}(x_0) \approx D_0 u(x_0) := \frac{1}{2}(D_+ u(x_0) + D_- u(x_0)) := \frac{u(x_0 + h) - u(x_0 - h)}{2h};$$

das Problem des ersten Schrittes.

Approximation der dritten Ordnung:

$$\frac{du}{dx}(x_0) \approx D_3 u(x_0) := \frac{1}{6h}[2u(x_0 + h) + 3u(x_0) - 6u(x_0 - h) + u(x_0 - 2h)];$$

das Problem ersten zwei Schritten.

Dies lässt sich auf Ableitungen höherer Ordnung umsetzen (Superposition).

Finite Differenzen, Leapfrog Schemata:

ODEs:

$$\frac{du}{dt} = f(u).$$

Finite Differenz auf gleichmäßiger Gitter mit dem Schritt Δt .

Startbedingungen (Anfangswerte):

AB1 - ein Schritt für den Start, die **erste Ordnung** der Approximation (nicht gut, es gibt Modifikationen):

$$u_0 = u(0), \\ u_{n+1} = u_n + \Delta t f(u_n).$$

AB2 - zwei Schritte für den Start:

$$u_{-1} = u(-\Delta t), \\ u_0 = u(0), \\ u_{n+1} = u_n + \Delta t \left(\frac{3}{2} f(u_n) - \frac{1}{2} f(u_{-1}) \right).$$

Usw.

Finite Differenzen, Leapfrog Schemata:

Motivieren von AB1:

$$u(t_{n+1}) = u(t_n) + \int_{t_n}^{t_{n+1}} f(u(t)) dt \simeq u(t_n) + \int_{t_n}^{t_{n+1}} I_p f(u(t)) dt \Rightarrow u_{n+1} := u_n + \Delta t f(u_n).$$

Motivieren von Leapfrog:

$$u(t_{n+1}) = u(t_{n-1}) + \int_{t_{n-1}}^{t_{n+1}} f(u(t)) dt \simeq u(t_{n-1}) + 2\Delta t f(u(t_n)) \Rightarrow u_{n+1} := u_{n-1} + 2\Delta t f(u_n).$$

$$Z(0) := u(t_0), Z(1) := Z(0) + \Delta t f(Z(0)).$$

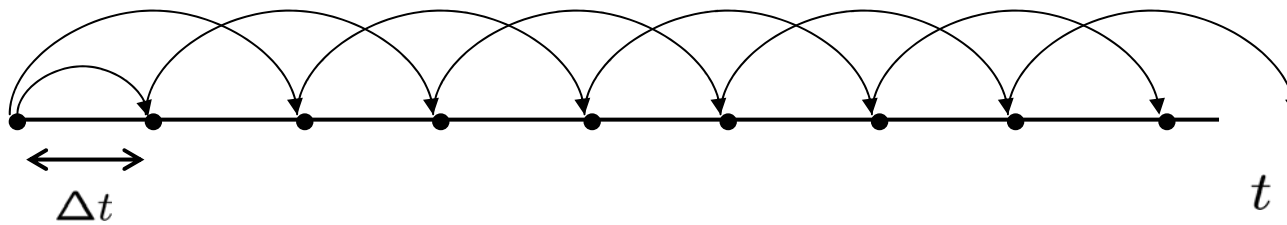
$$Z(k) := u(t_k);$$

$$H(Z(k), Z(k-1), \Delta t) := Z(k-1) + 2\Delta t f(Z(k)) :$$

$$Z(k+1) = H(Z(k), Z(k-1), \Delta t).$$

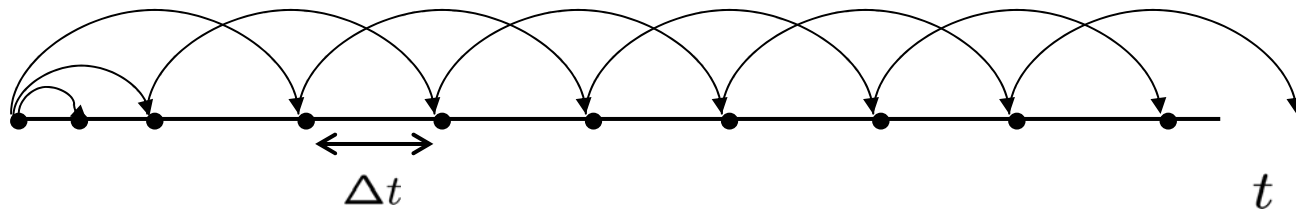
Bemerkung:

1. Dies kann direkt auf Systeme von ODEs, $u = (u_1, \dots, u_N)$, umgesetzt werden.
2. Weitere Umsetzung folgt auf System von PDEs.
3. Leapfrog ist relativ gut für **hyperbolische Gleichungen**, instabil für **parabolische Gleichungen**.



Bemerkung:

1. Ein Problem des Leapfrog-Schemas (und anderen **Drei-Zeitniveau Schemas**) ist, dass zwei Anfangswerte von u werden gebraucht.
Zusätzlich zum physischen Anfangswert u^0 braucht man auch Berechnungsanfangswert u^1 .
2. Der Anfangswert u^1 kann aus des Leapfrog nicht bekommen werden, deshalb wird normalerweise **ein einfaches nichtzentriertes Schritt** benutzt:
$$u^1 = u^0 + \Delta t f(u^0).$$
Aber dabei wird **der Fehler der ersten Ordnung**.
3. Eine Alternative ist **den ersten Halbschritt** zu benutzen, um **den Fehler** zu reduzieren:



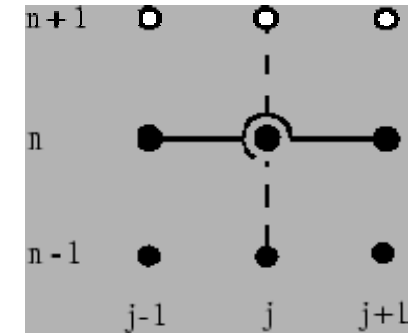
Leapfrog Schemata von finiten Differenzen:

Beispiel 5. Leapfrog Schema für die hyperbolische Gleichung.

$$\frac{\partial u}{\partial t} = -\frac{\partial J(u)}{\partial x}.$$

$$u_j^{n+1} = u_j^{n-1} - \frac{\Delta t}{\Delta x} [J_{j+1}^n - J_{j-1}^n].$$

$$Z(k) := \begin{pmatrix} u_1^k \\ u_2^k \\ \vdots \\ u_N^k \end{pmatrix}, W := [\Delta t, \Delta x],$$



$$Z_i(k+1) =$$

$$Z_i(k-1) + \frac{\Delta t}{\Delta x} [J(Z_{i+1}(k)) - J(Z_{i-1}(k))] =: H_i(Z(k), Z(k-1), \Delta t, \Delta x),$$

$$0 < i < N, N \gg 1.$$

Bemerkung:

1. Die dünnbesetzte Jacobimatrix: $\left[\frac{\partial H}{\partial Z(k)}, \frac{\partial H}{\partial Z(k-1)}, \frac{\partial H}{\partial W} \right]$, hat maximal 5 Elemente in jeder Zeile.
2. Weitere Verschärfung ist das staggered Leapfrog (staggered Gitter) für vektorielles u . Dies kann auch in diese Form gebracht werden.

Shallow Water Modell-Gleichungen in den Karthesischen Koordinaten:
(inkompressible Flüssigkeit; die Tiefe ist, relativ dem horizontalen Durchmesser, gering)

$$\begin{cases} \frac{\partial u}{\partial t} = -u \frac{\partial u}{\partial x} - v \frac{\partial u}{\partial y} + fv - \frac{\partial \phi}{\partial x}, \\ \frac{\partial v}{\partial t} = -u \frac{\partial v}{\partial x} - v \frac{\partial v}{\partial y} - fv - \frac{\partial \phi}{\partial y}, \\ \frac{\partial \phi}{\partial t} = -\frac{\partial(u\phi)}{\partial x} - \frac{\partial(v\phi)}{\partial y}. \end{cases}$$

- u, v - Komponente der horizontalen Geschwindigkeit.
- $\phi = gh$ - das Geopotentialfeld.
- f - ein Zeit-unabhängiger Modellparameter (der Coriolisfaktor).
 $f = \hat{f} + \beta \left(y - \frac{D}{2} \right)$, $0 \leq x \leq L$, $0 \leq y \leq D$.
- $U := (u, v, \phi)^T$ - der Zustandsvektor.

Benutze Leapfrog-Schema für die Zeit-Schritte, für räumliche Ableitungen werden zentrierte Differenzen benutzt:

Transformation zum Zeit-abhängigen N-dimensionalen System:

$$\left\{ \begin{array}{l} u_{i,j}^{k+1} = u_{i,j}^{k-1} - \frac{\Delta t}{\Delta x} u_{i,j}^k (u_{i+1,j}^k - u_{i-1,j}^k) - \frac{\Delta t}{\Delta y} v_{i,j}^k (u_{i,j+1}^k - u_{i,j-1}^k) + 2\Delta t f_{i,j} v_{i,j}^k - \frac{\Delta t}{\Delta x} (\phi_{i+1,j}^k - \phi_{i-1,j}^k), \\ v_{i,j}^{k+1} = v_{i,j}^{k-1} - \frac{\Delta t}{\Delta x} u_{i,j}^k (v_{i+1,j}^k - v_{i-1,j}^k) - \frac{\Delta t}{\Delta y} v_{i,j}^k (v_{i,j+1}^k - v_{i,j-1}^k) - 2\Delta t f_{i,j} v_{i,j}^k - \frac{\Delta t}{\Delta y} (\phi_{i,j+1}^k - \phi_{i,j-1}^k), \\ \phi_{i,j}^{k+1} = \phi_{i,j}^{k-1} - \frac{\Delta t}{\Delta x} (u_{i+1,j}^k \phi_{i+1,j}^k - u_{i-1,j}^k \phi_{i-1,j}^k) - \frac{\Delta t}{\Delta y} (v_{i,j+1}^k \phi_{i,j+1}^k - v_{i,j-1}^k \phi_{i,j-1}^k). \end{array} \right.$$

$$i, j = 1, \dots, n; k = 1, \dots, T-1 \quad f_{i,j} \approx \text{const} = f \quad W := (f, \Delta x, \Delta y, \Delta t)$$



- Bilde aus $\{u_{i,j}^k\}$, $\{v_{i,j}^k\}$, $\{\phi_{i,j}^k\}$ einen langen Zustandsvektor $Z(k)$ mit $\#Z(k) = 3 \times n \times n$.

$$N := 3 \times n \times n, p := \#W, \text{ typisch: } N \gg p.$$

- Gleichungen ergeben uns einen nichtlinearen "Time-Stepping"-Operator:

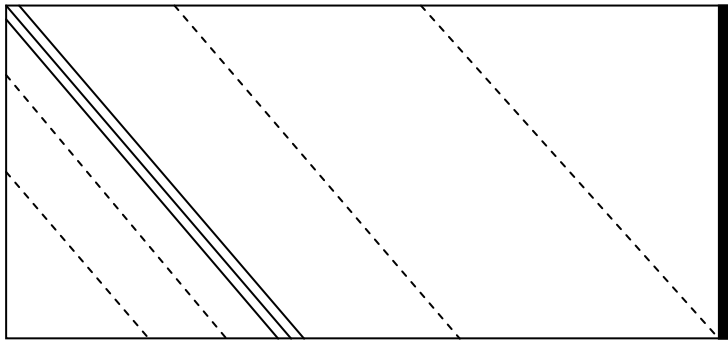
$$Z(k+1) = H(Z(k), Z(k-1), W) \text{ für } k = 1, \dots, T-1.$$

- Die l -te Komponente $H_l(Z(k), Z(k-1), W)$ hängt maximal von:

1 Element von $Z(k-1)$, 8 Elementen von $Z(k)$ und 4 Elementen von W ;
insgesamt 13 Variablen ab.

Time-parallel computation of pseudo-adjoints for a leapfrog scheme

1. Die dünnbestzte "Timestep"-Jakobimatrix: $\left[\frac{\partial H}{\partial Z(k)}, \frac{\partial H}{\partial Z(k-1)}, \frac{\partial H}{\partial W} \right]$, maximal 13 Elemente in jeder Zeile.
2. $\left[\frac{\partial H}{\partial W} \right]$ ist i.a. Fall dicht (p Elemente in jeder Zeile). Aber für $N \gg p$ wird der Einfluss gering.



Schematische Darstellung des "Leapfrog"-Schema:

```
Initialize  $Z(0)$  and  $W$ .  
Compute  $Z(1)$  ("One-Step"-Schema).  
for  $k = 1$  to  $T - 1$  do  
     $Z(k + 1) = H(Z(k), Z(k - 1), W)$   
end do
```

Kosten-Funktion und Adjoints:

Steuerungsproblem in der Meteorologie und Ozeanologie:

- Zwecks Variational Data Assimilation (VDA), $[0, T]$ - Assimilationsfenster;
- Sensitivitätsanalyse: wie wird die Veränderung der Anfangswerten (bzw. Modellparametern) eine Modellfunktion (Kosten-Funktion) $r : U(T) \mapsto r(U(T))$ bzw. $Z(T) \mapsto r(Z(T)) \in \mathbb{R}^1$ beeinflussen.

Typische Kosten-Funktionen:

$$r(U(T)) = J(U(0), W) = \frac{1}{2} \int_{\Omega} w(x) [U(T) - U(T)_{\text{obs}}]^2 dx;$$

$$r(Z(T)) = J(Z(0), W) = \frac{1}{2} \langle \hat{w}(CZ(T) - Z(T)_{\text{obs}}), CZ(T) - Z(T)_{\text{obs}} \rangle;$$

$$Z(T) \in \mathbb{R}^N, Z(T)_{\text{obs}} \in \mathbb{R}^M, C : \mathbb{R}^N \mapsto \mathbb{R}^M;$$

$$J(Z(0), W) = \frac{1}{2} \int_0^T \langle \hat{w}(CZ(t) - Z(t)_{\text{obs}}), CZ(t) - Z(t)_{\text{obs}} \rangle dt;$$

$$J(Z(0), W) = \frac{1}{2} \sum_{k=0}^T \langle \hat{w}(k)(CZ(k) - Z(k)_{\text{obs}}), CZ(k) - Z(k)_{\text{obs}} \rangle dt;$$

$$J(Z(0), W) = \frac{1}{2} \int_0^T \| \hat{H}X - X_{\text{obs}} \|^2 dt, \quad \hat{H} \text{ - observation matrix.}$$

Ziel: minimiere $J(U(0), W)$ bzw. $J(Z(0), W)$



$$\frac{dr}{d[Z(0), W]} = \frac{dJ(Z(0), W)}{d[Z(0), W]}$$

Sensitivität, Adjoint, "Long Gradient".

Adjoint-Ansätze werden angewendet (echte Adjoints):

- **Stetige Adjoints:**

werden mathematisch (analytisch) aus der Definition des entsprechenden Operators bekommen.

- **Diskrete Adjoints:**

werden durch den Ansatz des reversen Modes von AD auf den Computer-Code bekommen.

Echte Adjoints

Finite Differenze von den Adjoints:
Adjoint-Gleichung wird für linearisierte stetige Modell-Gleichungen geschrieben und dann diskretisiert.

Adjoints der finiten Differenzen:
Finite Differenzen der Adjoint-Gleichung werden direkt aus dem finiten Differenzen Schema der Modell-PDGs hergeleitet.
Dies kann stark von unphysischen Faktoren (numerische Schema) beeinträchtigt werden.

Beispiel 8. Adjoint Newton Algorithm (for distributed parameter systems):

$$\frac{dZ(t)}{dt} = F(Z(t)),$$

$$Z(0) = U.$$

$$Z \longrightarrow Z + \hat{Z}, U \longrightarrow U + U'.$$

↓

$$\frac{d\hat{Z}(t)}{dt} \approx \frac{\partial F(Z)}{\partial Z} \hat{Z}(t),$$

$$\hat{Z}(0) = U'.$$

$$\min_U J(U) = \min_U \left\{ \frac{1}{2} \int_0^T \langle \hat{w}(CZ - Z_{\text{obs}}), CZ - Z_{\text{obs}} \rangle dt \right\}.$$

↓

$$\delta J = [\nabla_U J, U'] = \int_0^T \langle \hat{w}(CZ - Z_{\text{obs}}), C\hat{Z} \rangle dt.$$

Um die lineare Abhangigkeit von U' zu benutzen und $\nabla_U J$ zu berechnen wird die adjungierte Variable P eingefuhrt.

↓

$$\int_0^T \left\langle -P, \frac{d\hat{Z}}{dt} \right\rangle dt = \int_0^T \left\langle -P, \frac{\partial F}{\partial Z} \hat{Z} \right\rangle dt,$$

↓

$$\langle -P(T), \hat{Z}(T) \rangle + \langle P(0), \hat{Z}(0) \rangle = \int_0^T \left\langle \hat{Z}, -\frac{dP}{dt} - \left(\frac{\partial F}{\partial Z}\right)^* P \right\rangle dt.$$

Gleichungssystem ist unvollständig. Für eine zusätzliche Einschränkung auf P ein (adjoint Gleichung):

$$-\frac{dP}{dt} = \left(\frac{\partial F}{\partial Z}\right)^* P + C^* \hat{w}(CZ - Z_{\text{obs}}),$$

$$P(T) = 0.$$

↓

$$\delta J(U, U') = \langle \nabla_U J, U' \rangle = \langle U', P(0) \rangle,$$

$$\nabla_U J = P(0).$$

Schematische Darstellung des "Leapfrog"-Schema:

```
Initialize  $Z(0)$  and  $W$ .  
Compute  $Z(1)$  ("One-Step"-Schema).  
for  $k = 1$  to  $T - 1$  do  
     $Z(k + 1) = H(Z(k), Z(k - 1), W)$   
end do
```

Ziel: $\frac{dr(Z(T))}{d[Z(0), W]}$.

Der neue Ansatz: Pseudo-Adjoints.

Ingredienzien:

- Nutzung der Dünnbesetzung (für "stencil-based" Berechnungen) der Jacobimatrizen:
 $\left[\frac{\partial H}{\partial Z(k)}, \frac{\partial H}{\partial Z(k-1)}, \frac{\partial H}{\partial W} \right]$.
- Gleichzeitige (parallele) Berechnung der Ableitungen von H für verschiedene k .
- "Reverse-Mode Harness", die effektiv akkumuliert Ableitungen von verschiedenen Zeit-Schritten.

Parallele Berechnung der dünnbesetzten "Timestep"-Jacobimatrizen:

$$\begin{aligned} \frac{dZ(k+1)}{d[Z(0), W]} = & \frac{\partial H(Z(k), Z(k-1), W)}{\partial Z(k)} \cdot \frac{dZ(k)}{d[Z(0), W]} + \frac{\partial H(Z(k), Z(k-1), W)}{\partial Z(k-1)} \cdot \frac{dZ(k-1)}{d[Z(0), W]} + \\ & \frac{\partial H(Z(k), Z(k-1), W)}{\partial W} \cdot \frac{dW}{d[Z(0), W]}, \quad 1 \leq k \leq T-1. \end{aligned}$$

- a. Für die 2-D shallow water Modell, $n = 11$, $N = 3 \times n \times n = 363$, sind $\frac{\partial H}{\partial Z(k)}$ und $\frac{\partial H}{\partial Z(k-1)}$ dünn besetzte $N \times N$ Matrize.
- b. Die $N \times p$ Matrix $\frac{\partial H}{\partial W}$ ist dicht besetzt.
- c. Jede Zeile der Matrix $\left[\frac{\partial H}{\partial Z(k)}, \frac{\partial H}{\partial Z(k-1)}, \frac{\partial H}{\partial W} \right]$ besitzt maximal 13 (nicht Null) Elemente.
- d. $\frac{dW}{d[Z(0), W]} = [0_{p \times N}, I_{p \times p}]$.

Idee:

- Benutze die Dünnbesetzung von $\frac{\partial H}{\partial Z(k)}$ und $\frac{\partial H}{\partial Z(k-1)}$ zwecks Effektivität bei der Berechnung von $\frac{dZ(T)}{d[Z(0), W]}$ mit der AD-Tool.
- Benutze Zeit-parallele Berechnung der dünnbesetzten "timestep"-Jacobimatrizen mit dem forward-mode basierten AD-Tool, weil um $\left[\frac{\partial H}{\partial Z(k)}, \frac{\partial H}{\partial Z(k-1)}, \frac{\partial H}{\partial W} \right]$ zu berechnen werden Ableitungen $\frac{dZ(i)}{d[Z(0), W]}$ nicht gebraucht.
- Benutze rückwärts Rekursion (Multiplizieren der Vektoren auf dünnbesetzte Matrize), um $\frac{dr}{d[Z(0), W]} = \frac{dr}{dZ(T)} \cdot \frac{dZ(T)}{d[Z(0), W]}$ zu berechnen.

Time-parallel computation of pseudo-adjoints for a leapfrog scheme

Neues Schema, "Pseudo Adjoints":

Schematic for computing timestep Jacobians using P processors:

Initialize $Z(0)$ and W .

Compute and save $Z(1)$.

for $k = 1$ **to** $T - 1$ **do**

$$Z(k + 1) = H(Z(k), Z(k - 1), W)$$

Save $Z(k + 1)$.

end do

for $k = 0$ **to** $T - 1$ **do**

if $(\text{mod}(k, P) = \text{my_id})$ **then**

if $(k = 1)$ **then**

Compute and store $\left[\frac{dZ(1)}{dZ(0)}, \frac{dZ(1)}{dW} \right]$.

else

Compute $Z(k + 1)$ as well as $\left[\frac{\partial H}{\partial Z(k)}, \frac{\partial H}{\partial Z(k-1)}, \frac{\partial H}{\partial W} \right]$ via
an invocation of \hat{H} geared toward exploiting sparsity.

Store $\left(k, \frac{\partial H}{\partial Z(k)}, \frac{\partial H}{\partial Z(k-1)}, \frac{\partial H}{\partial W} \right)$.

end if

end if

end do

Die Komplexität ist proportional der Komplexität für H , die ist von N unabhängig.

Die Hoch-Niveau Adjoint Rekursion.

Nun wurden alle timestep Jakobians berechnet, dann werden Adjoints rekursiv berechnet.

Leapfrog Schema.

$$\frac{dr}{d[Z(0), W]} = \frac{dr}{dZ(T)} \cdot \frac{dZ(T)}{d[Z(0), W]}.$$

$$\begin{aligned} \frac{dr}{dZ(T)} \cdot \frac{dZ(T)}{d[Z(0), W]} &= (x^T)_{1 \times N} \cdot \frac{dZ(T-1)}{d[Z(0), W]} \\ &\quad + (y^T)_{1 \times N} \cdot \frac{dZ(T-2)}{d[Z(0), W]} \\ &\quad + (w^T)_{1 \times (N+p)}, T \geq 2; \end{aligned}$$

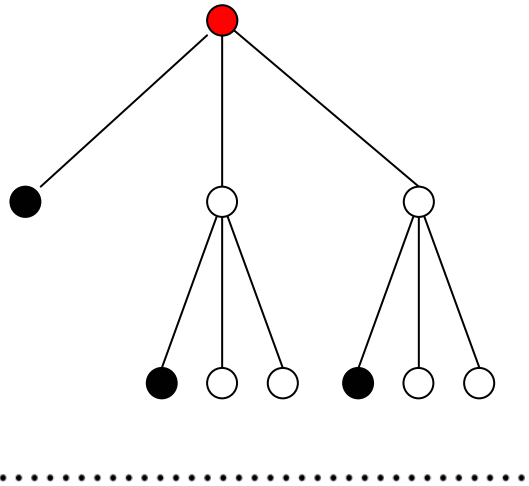
$$(x^T)_{1 \times N} = \frac{dr}{dZ(T)_{1 \times N}} \cdot \frac{\partial H(Z(T-1), Z(T-2), W)}{\partial Z(T-1)_{N \times N}},$$

$$(y^T)_{1 \times N} = \frac{dr}{dZ(T)_{1 \times N}} \cdot \frac{\partial H(Z(T-1), Z(T-2), W)}{\partial Z(T-2)_{N \times N}},$$

$$(w^T)_{1 \times (N+p)} = \frac{dr}{dZ(T)_{1 \times N}} \cdot \frac{\partial H(Z(T-1), Z(T-2), W)}{\partial W_{N \times p}} \cdot [0_{p \times N}, I_{p \times p}].$$

$$T = 1: \frac{dr}{dZ(1)} \cdot \frac{dZ(1)}{d[Z(0), W]} = \frac{dr}{dZ(1)} \cdot \left[\frac{dZ(1)}{dZ(0)}, \frac{dZ(1)}{dW} \right], \quad \frac{dW}{d[Z(0), W]} = [0_{p \times N}, I_{p \times p}].$$

$$T = 0: \frac{dr}{dZ(0)} \cdot \frac{dZ(0)}{d[Z(0), W]} = \frac{dr}{dZ(0)} \cdot [I_{N \times N}, 0_{N \times p}].$$



$T - 1$ Rekursionenniveau.

$\sim 2^T - 2$ linken Multiplikationen der $1 \times N$ -Vektoren auf dünnbesetzte $N \times N$ -Matrize.

$\sim 2^{T-1} - 1$ linken Multiplikationen der $1 \times N$ -Vektoren auf dichte $N \times p$ Matrize,
Submatrize der $N \times (N + p)$ Matrizen.

$N \gg p \Rightarrow$ Kosten von den Multiplikationen (und Berechnungen) auf $\frac{\partial H}{\partial W}$ sind relativ gering.

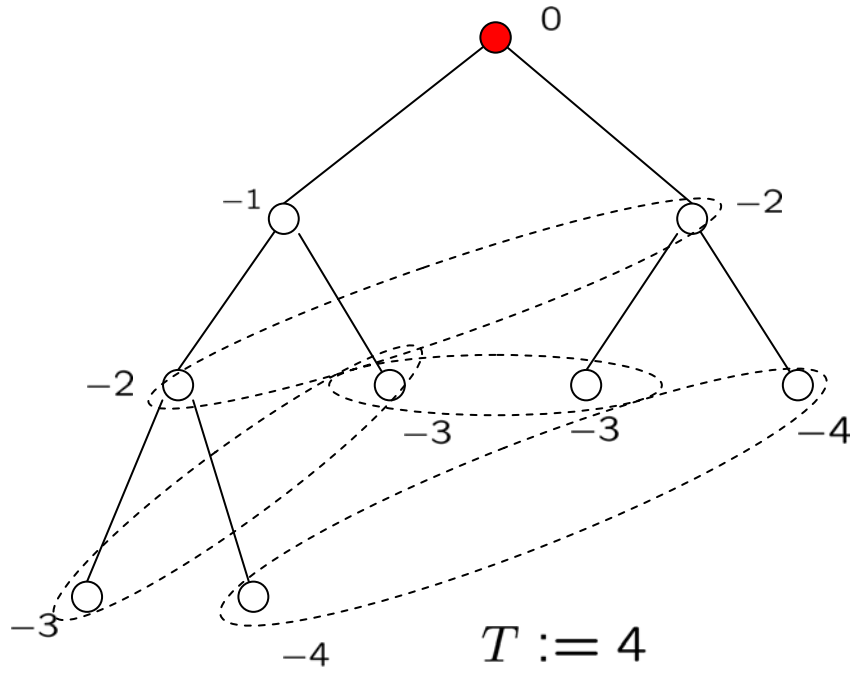
$$\frac{dr}{d[Z(0), W]} = \text{leapfrog_adjoint} \left(\frac{dr}{dZ(T)}, T \right).$$

Kombinatorischer Fehler!

Der binäre Baum ist für sparse Matrize auch schief.
Es gibt mehrere Multiplikationen verschiedener Vektoren auf gleiche Matrize.

"One Step" Schema besser sammelt diese Vektore und reduziert die Anzahl der Multiplikationen.

$$\frac{dr}{d[Z(0), W]} = \text{leapfrog_adjoint} \left(\frac{dr}{dZ(T)}, T \right).$$



T	u_T
2	2
3	4
4	8
5	14
6	24
7	40
\dots	

$$u_T = 2 + u_{T-1} + u_{T-2}$$

$T - 1$ Rekursionenniveau.

$T \gg 1 \Rightarrow \sim 2^{T-1}$ linken Multiplikationen der $1 \times N$ -Vektoren auf sparse $N \times N$ -Matrize.

Recursive evaluation of adjoint for a leapfrog scheme:

```
u = function leapfrog_adjoint (v,k)

    if (k ≥ 2) then

         $x^T = v \cdot \frac{\partial H}{\partial Z(k-1)}$ 

         $y^T = v \cdot \frac{\partial H}{\partial Z(k-2)}$ 

         $w^T = v \cdot \frac{\partial H}{\partial W} \cdot [0_{p \times N}, I_{p \times p}]$ 

         $u = \text{leapfrog\_adjoint}(x^T, k-1) + \text{leapfrog\_adjoint}(y^T, k-2) + w^T$ 

    else

         $u = v \cdot \left[ \frac{dZ(1)}{dZ(0)}, \frac{dZ(1)}{dW} \right] \text{ if } (k=1)$ 

         $u = v \cdot [I_{N \times N}, 0_{N \times p}] \text{ if } (k=0)$ 

    end if

    return (u)

end function
```

Time-parallel computation of pseudo-adjoints for a leapfrog scheme

"One-Step" Schema:

(weniger Matrix-Vektor Multiplikationen bzw. Zweigen, aber höhere Dimension)

$$\overline{Z(k)} = [Z(k)^T, Z(k-1)^T]^T \in \mathbb{R}^{2N}. \quad \text{Der erweiterte Zustandsvektor}$$

$$\overline{Z(k+1)} = \bar{H}(\overline{Z(k)}, W), 1 \leq k \leq T-1,$$

$$\bar{H}(\overline{Z(k)}, W) = \begin{bmatrix} H(Z(k), Z(k-1), W) \\ Z(k) \end{bmatrix}. \quad \text{Der "neue" update Operator}$$

$$\frac{d\overline{Z(k+1)}}{d[Z(0), W]} = \frac{\partial \bar{H}}{\partial \overline{Z(k)}} \cdot \frac{d\overline{Z(k)}}{d[Z(0), W]} + \frac{\partial \bar{H}}{\partial W} \cdot \frac{dW}{d[Z(0), W]}, \quad k \geq 1. \quad \text{Rekursion}$$

$$\bar{r} : \mathbb{R}^{2N} \rightarrow R^N, \quad \bar{r} : \overline{Z(T)} \mapsto r(Z(T)). \quad \text{Kosten-Funktion des erweiterten Zustandes}$$

$$\frac{d\bar{r}}{d[Z(0), W]} = \frac{d\bar{r}}{d\overline{Z(T)}} \cdot \frac{d\overline{Z(T)}}{d[Z(0), W]}.$$

$$\left[\frac{dr}{dZ(T)}, 0_{1 \times N} \right]_{1 \times 2N} \cdot \frac{d\overline{Z(T)}}{d[Z(0), W]} = (\bar{x}^T)_{1 \times 2N} \cdot \frac{d\overline{Z(T-1)}}{d[Z(0), W]} + (\bar{w}^T)_{1 \times (N+p)}, \quad T \geq 2,$$

$$(\bar{x}^T)_{1 \times 2N} = \left[\frac{dr}{dZ(T)}, 0_{1 \times N} \right]_{1 \times 2N} \cdot \begin{bmatrix} \frac{\partial H}{\partial Z(T-1)} & \frac{\partial H}{\partial Z(T-2)} \\ I_{N \times N} & 0_{N \times N} \end{bmatrix}_{2N \times 2N},$$

$$(\bar{w}^T)_{1 \times (N+p)} = \left[\frac{dr}{dZ(T)}, 0_{1 \times N} \right]_{1 \times 2N} \cdot \begin{bmatrix} \frac{\partial H}{\partial W} \\ 0_{N \times p} \end{bmatrix}_{2N \times p} \cdot [0_{p \times N}, I_{p \times p}].$$

$$\frac{d\overline{Z(1)}}{d[Z(0), W]} = \begin{bmatrix} \frac{dZ(1)}{dZ(0)} & \frac{dZ(1)}{dW} \\ \frac{dZ(0)}{dZ(0)} & \frac{dZ(0)}{dW} \end{bmatrix} = \begin{bmatrix} \frac{dZ(1)}{dZ(0)} & \frac{dZ(1)}{dW} \\ I_{N \times N} & 0_{N \times p} \end{bmatrix}.$$

Der "neue" sparse timestep Jakobian wird wie der "Alte", nach demselben Algorithmus berechnet. Die Komplexität ist zu der Komplexität für H proportional und von N unabhängig.

Dank der linearen Rekursion (und dem Vektorsammeln) wird es nur $2(T - 1)$ multiplikationen mit sparsen $N \times N$ -Matrizen durchgeführt.

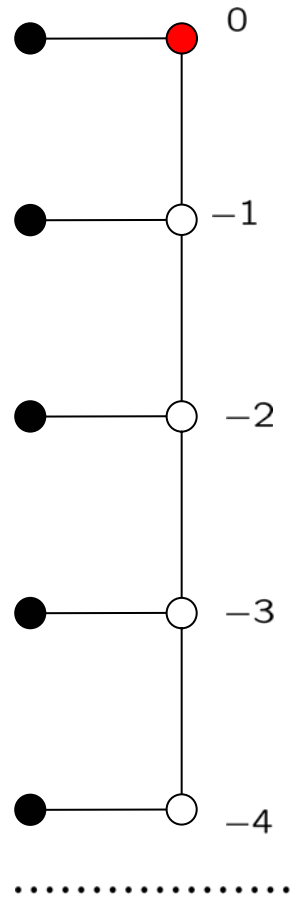
$$\frac{dr}{d[Z(0), W]} = \text{one_step_adjoint} \left(\left[\frac{dr}{dZ(T)}, 0_{1 \times N} \right], T \right).$$

Recursive evaluation of adjoint for a one-step scheme:

```

 $\bar{u}$  = function one_step_adjoint ( $\bar{v}, k$ )
    if ( $k \geq 2$ ) then
         $\bar{x}^T = \bar{v} \cdot \begin{bmatrix} \frac{\partial H}{\partial Z(k-1)} & \frac{\partial H}{\partial Z(k-2)} \\ I_{N \times N} & 0_{N \times N} \end{bmatrix}$ 
         $\bar{w}^T = \bar{v} \cdot \begin{bmatrix} \frac{\partial H}{\partial W} \\ 0_{N \times p} \end{bmatrix} \cdot [0_{p \times N}, I_{p \times p}]$ 
         $\bar{u} = \text{one\_step\_adjoint} (\bar{x}^T, k - 1) + \bar{w}^T$ 
    else
         $\bar{u} = \bar{v} \cdot \begin{bmatrix} \frac{dZ(1)}{dZ(0)} & \frac{dZ(1)}{dW} \\ I_{N \times N} & 0_{N \times p} \end{bmatrix}$ 
    end if
    return ( $\bar{u}$ )
end function

```



Generalisierung des "Time-Stepping" Operators:

$$Z(k+1) = H(Z(k), Z(k-1), \dots, Z(k-l+1), W), \quad k \geq l-1.$$

Alte Kosten-Funktion:

$$\frac{dr}{d[Z(0), W]} = \frac{dr}{dZ(T)} \cdot \frac{dZ(T)}{d[Z(0), W]}.$$

Rekursion:

$$\begin{aligned} \frac{dZ(T)}{d[Z(0), W]} &= \sum_{\tau=T-l}^{T-1} \frac{\partial H(Z(T-1), \dots, Z(T-l), W)}{\partial Z(\tau)} \cdot \frac{dZ(\tau)}{d[Z(0), W]} \\ &\quad + \frac{\partial H(Z(T-1), \dots, Z(T-l), W)}{\partial W} \cdot \frac{dW}{d[Z(0), W]}, \quad T \geq l. \end{aligned}$$

$$\frac{dr}{dZ(T)_{1 \times N}} \cdot \frac{dZ(T)}{d[Z(0), W]_{N \times (N+p)}} = \sum_{\tau=T-l}^{T-1} (x_\tau^T)_{1 \times N} \cdot \frac{dZ(\tau)}{d[Z(0), W]} + (w^T)_{1 \times (N+p)}, \quad T \geq l,$$

$$(x_\tau^T)_{1 \times N} = \frac{dr}{dZ(T)_{1 \times N}} \cdot \frac{\partial H(Z(T-1), \dots, Z(T-l), W)}{\partial Z(\tau)_{N \times N}},$$

$$(w^T)_{1 \times (N+p)} = \frac{dr}{dZ(T)_{1 \times N}} \cdot \frac{\partial H(Z(T-1), \dots, Z(T-l), W)}{\partial W_{N \times p}} \cdot [0_{p \times N}, I_{p \times p}].$$

l Anfangsbedingungen:

$$\boxed{\begin{aligned} \frac{dr}{dZ(\tau)} \cdot \frac{dZ(\tau)}{d[Z(0), W]} &= \frac{dr}{dZ(\tau)} \cdot \left[\frac{dZ(\tau)}{dZ(0)}, \frac{dZ(\tau)}{dW} \right], \quad \tau = 1, 2, \dots, l-1, \\ \frac{dr}{dZ(0)} \cdot \frac{dZ(0)}{d[Z(0), W]} &= \frac{dr}{dZ(0)} \cdot [I_{N \times N}, 0_{N \times p}]. \end{aligned}} \quad l^{T-l+1}.$$

Transformation in die "One Step" Schema (lineare Rekursion):

$$\widehat{Z(k)} = [Z(k)^T, Z(k-1)^T, \dots, Z(k-l+1)^T] \in \mathbb{R}^{lN}.$$

$$\widehat{Z(k+1)} = \widehat{H}(\widehat{Z(k)}, W), \quad k \geq l-1.$$

$$\widehat{H}(\widehat{Z(k)}, W) = \begin{bmatrix} H(Z(k), Z(k-1), \dots, Z(k-l+1), W) \\ Z(k) \\ Z(k-1) \\ \vdots \\ Z(k-l+2) \end{bmatrix}.$$

$$\widehat{r} : \mathbb{R}^{lN} \rightarrow \mathbb{R}; \quad \widehat{r} : \widehat{Z(T)} \mapsto r(Z(T)).$$

Rekursion:

$$\left[\frac{dr}{dZ(T)}, 0_{1 \times N}, \dots, 0_{1 \times N} \right]_{1 \times lN} \cdot \frac{d\widehat{Z(T)}}{d[Z(0), W]_{lN \times (N+p)}} = l(T - l + 1).$$

$$(x^T)_{1 \times lN} \cdot \frac{d\widehat{Z(T-1)}}{d[Z(0), W]_{lN \times N+p}} + (w^T)_{1 \times (N+p)}, \quad T \geq l,$$

$$(x^T)_{1 \times lN} = \left[\frac{dr}{dZ(T)_{1 \times N}}, 0_{1 \times N}, \dots, 0_{1 \times N} \right]_{1 \times lN} \cdot \begin{bmatrix} \frac{\partial H}{\partial Z(T-1)} & \frac{\partial H}{\partial Z(T-2)} & \cdots & \frac{\partial H}{\partial Z(T-l)} \\ I_{(l-1)N \times (l-1)N} & 0_{(l-1)N \times N} \end{bmatrix},$$

$$(w^T)_{1 \times (N+p)} = \left[\frac{dr}{dZ(T)_{1 \times N}}, 0_{1 \times N}, \dots, 0_{1 \times N} \right]_{1 \times lN} \cdot \begin{bmatrix} \frac{\partial H}{\partial W_{N \times p}} \\ 0_{N \times p} \\ \vdots \\ 0_{N \times p} \end{bmatrix}_{lN \times p} \cdot [0_{p \times N}, I_{p \times p}].$$

Anfangsbedingung:

$$\left[\frac{dr}{dZ(T)}, 0_{1 \times N}, \dots, 0_{1 \times N} \right]_{1 \times lN} \cdot \frac{d\widehat{Z(l-1)}}{d[Z(0), W]} = \left[\frac{dr}{dZ(l-1)}, 0_{1 \times N}, \dots, 0_{1 \times N} \right] \cdot \begin{bmatrix} \frac{dZ(l-1)}{dZ(0)} & \frac{dZ(l-1)}{dW} \\ \vdots & \vdots \\ \frac{dZ(1)}{dZ(0)} & \frac{dZ(1)}{dW} \\ I_{N \times N} & 0_{N \times p} \end{bmatrix}.$$

Generalisierung der Kosten-Funktion für die Leapfrog Schema:

$$Z(k) \in \mathbb{R}^N, \quad Z(k+1) = H(Z(k), Z(k-1), W), \quad \text{für } k = 1, \dots, T-1.$$

$$\tilde{r} : \mathbb{R}^{2N} \rightarrow \mathbb{R}, \quad \tilde{r} : (Z(T)^T, Z(T-1)^T)^T \mapsto \tilde{r}(Z(T), Z(T-1)).$$

Rekursion:

$$\begin{aligned} \frac{d\tilde{r}}{d[Z(0), W]} &= \frac{\partial \tilde{r}}{\partial Z(T)} \cdot \frac{dZ(T)}{d[Z(0), W]} + \frac{\partial \tilde{r}}{\partial Z(T-1)} \cdot \frac{dZ(T-1)}{d[Z(0), W]} \\ &=: g\left(\frac{\partial \tilde{r}}{\partial Z(T)}, \frac{\partial \tilde{r}}{\partial Z(T-1)}, T\right), \end{aligned}$$

$$g(p, q, T) = g(w^T, x^T, T-1) + g(y^T, z^T, T-2) + v^T, \quad T \geq 2.$$

$$\begin{aligned} &(p)_{1 \times N}, (q)_{1 \times N}, \\ &(w^T)_{1 \times N}, (x^T)_{1 \times N}, (y^T)_{1 \times N}, \\ &(v^T)_{1 \times (N+p)} \end{aligned}$$

$\sim 4^{T-1}$, binäre Rekursion.

Reduziere die Anzahl sparser Matrix-Vektor Multiplikationen ("One Step" Schema):

$$\overline{Z(k)} = [Z(k)^T, Z(k-1)^T]^T \in \mathbb{R}^{2N}.$$

$$\left[\frac{\partial \tilde{r}}{\partial Z(T)}, \frac{\partial \tilde{r}}{\partial Z(T-1)} \right]_{1 \times 2N} \cdot \frac{d\overline{Z(T)}}{d[Z(0), W]_{2N \times (N+p)}} = \\ (x^T)_{1 \times 2N} \cdot \frac{d\overline{Z(T-1)}}{d[Z(0), W]_{2N \times N+p}} + (w^T)_{1 \times (N+p)}, \quad T \geq 2,$$

$$(x^T)_{1 \times 2N} = \left[\frac{\partial \tilde{r}}{\partial Z(T)}, \frac{\partial \tilde{r}}{\partial Z(T-1)} \right]_{1 \times 2N} \cdot \left[\begin{array}{cc} \frac{\partial H}{\partial Z(T-1)} & \frac{\partial H}{\partial Z(T-2)} \\ I_{N \times N} & 0_{N \times N} \end{array} \right]_{2N \times 2N},$$

$$(w^T)_{1 \times (N+p)} = \left[\frac{\partial \tilde{r}}{\partial Z(T)}, \frac{\partial \tilde{r}}{\partial Z(T-1)} \right]_{1 \times 2N} \cdot \left[\begin{array}{c} \frac{\partial H}{\partial W} \\ 0_{N \times p} \end{array} \right]_{2N \times p} \cdot [0_{p \times N}, I_{p \times p}].$$

$$\sim 2(T-1)$$

Time-parallel computation of pseudo-adjoints for a leapfrog scheme

- [1] Christian H. Bischof and H. Martin Bücker, Po-Ting Wu, Time-parallel computation of pseudo-adjoints for a leapfrog scheme,
International Journal of High Speed Computing, V. 12, No. 1 (2004), 1-27.
- [2] C. H. Bischof, H.M. Bücker and P.-T. Wu, Exploiting intermediate sparsity in computing derivatives for a leapfrog scheme, *Computational Optimization and Applications* **24** (1) (2003) 117-133.
- [3] Z. Wang, Variational data assimilation with 2-D shallow water equations and 3-D FSU global spectral models, Technical Report FSU-SCRI-93T-149, Florida State University, Department of Mathematics, December 1993.
- [4] Z. Wang, I. M. Navon, X. Zou and F. LeDimet, A truncated Newton optimization algorithm in meteorology applications with analytic Hessian/vector products, *Comput. Opt. Appl.* **4** (1995) 241-262.